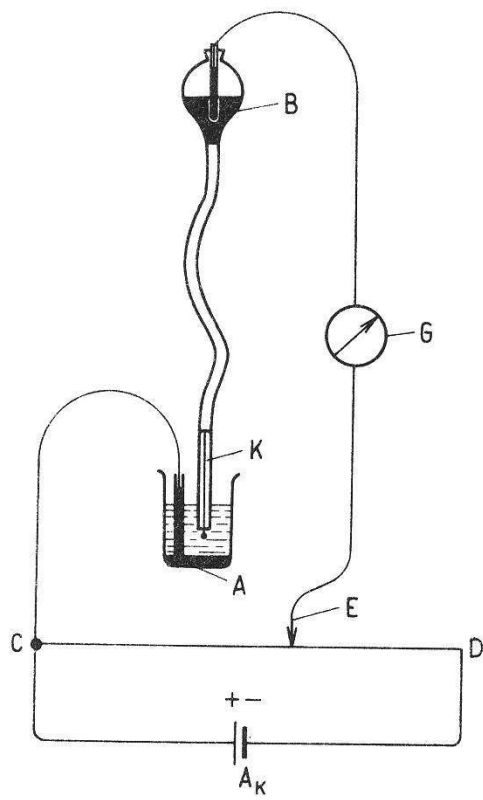
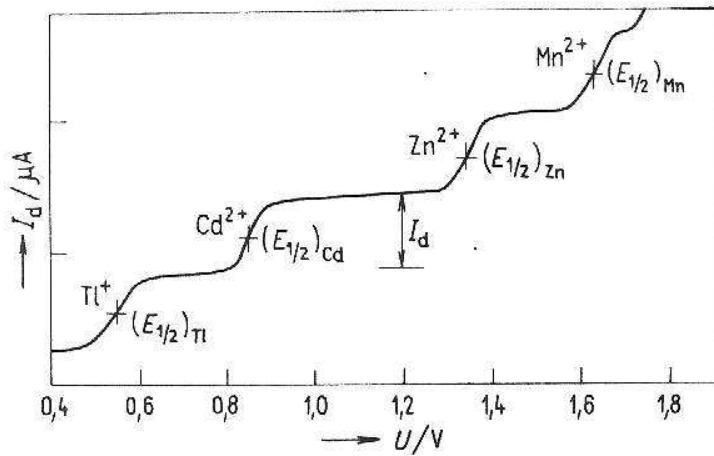


Polarografie

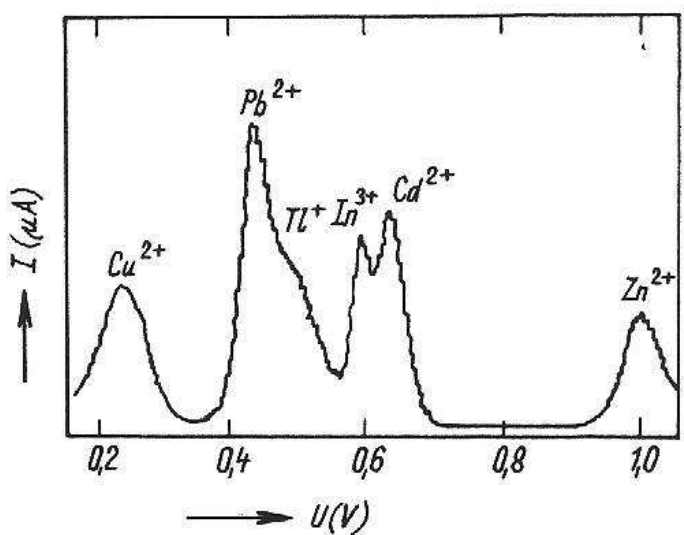


Obr. 7.36 Základní zapojení pro polarografií
 K — rtuťová kapková elektroda,
 B — zásobník rtuti, A — vrstva rtuti jako anoda, CD — odporový drát,
 E — smýkavý kontakt, G — galvanometr,
 AK — akumulátor

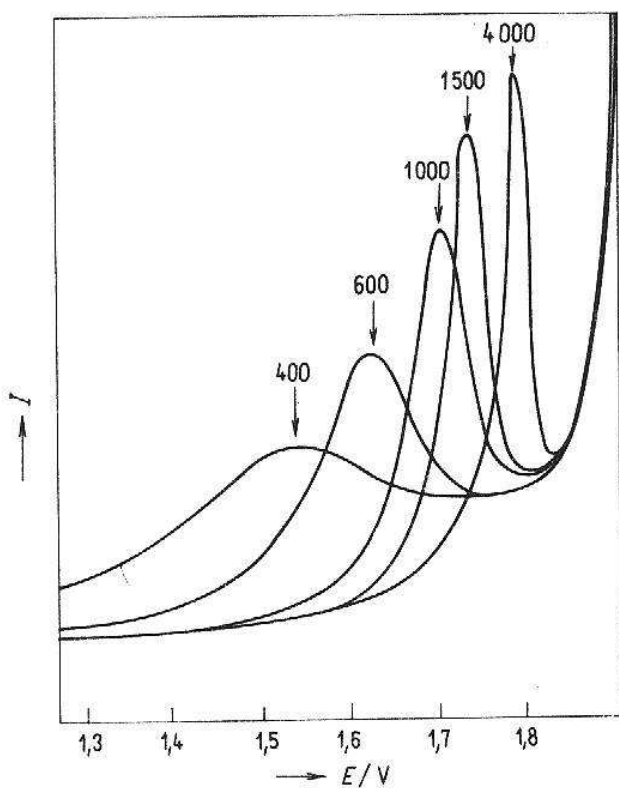
$$I_d = 0,627 \text{ cm}^2 \text{ g}^{-2/3} \cdot n \cdot F \cdot D^{1/2} m_h^{2/3} \cdot t_1^{1/6} \cdot c$$



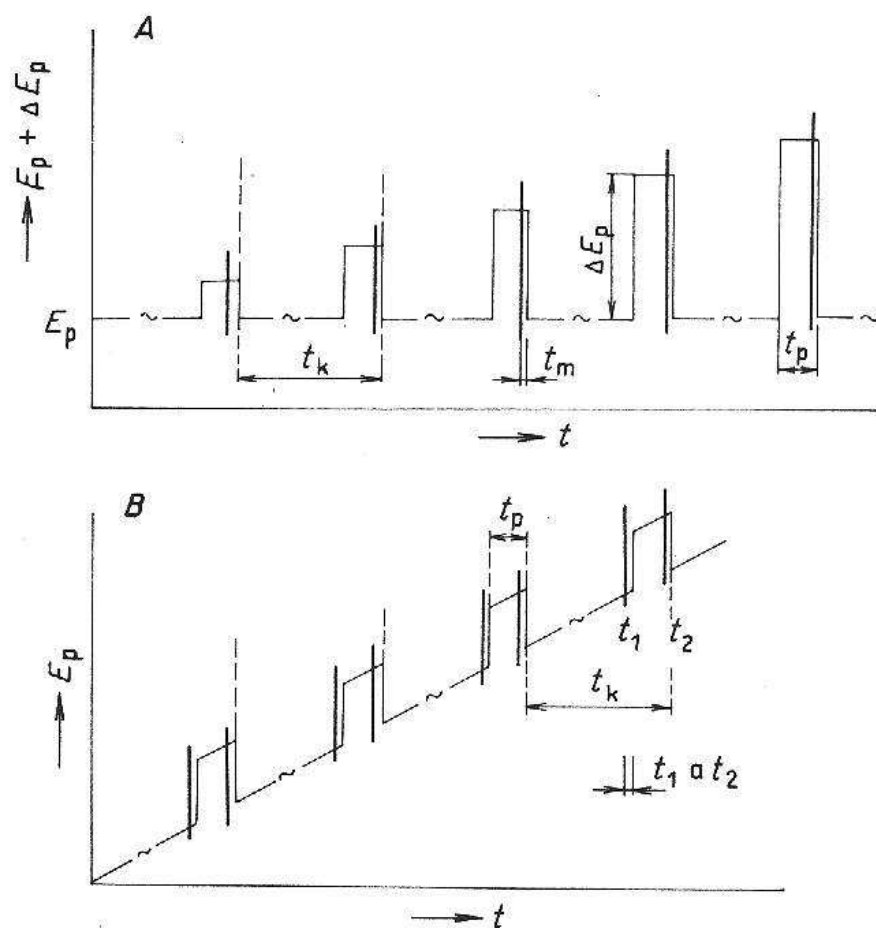
Obr. 7.38 Polarografické křivky s vlnami iontů Tl^+ , Cd^{2+} , Zn^{2+} a Mn^{2+} s vyznačením půlvnových potenciálů $E_{1/2}$ a výškou vlny (I_d)



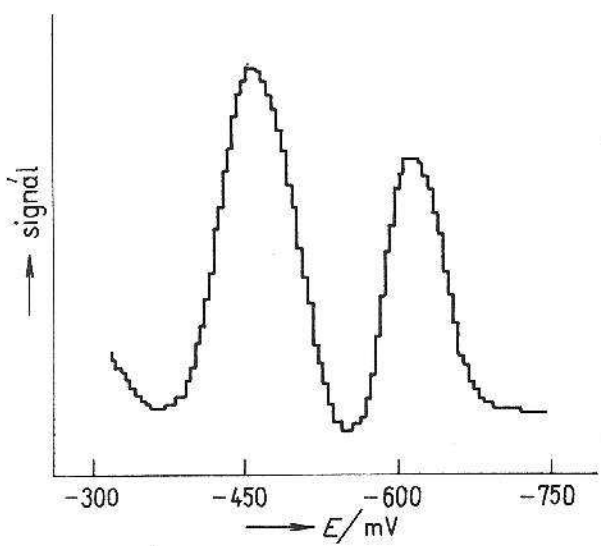
Obr. 7.42 Polarogram s pravoúhlým střídavým napětím (square wave) pro šest kationtů



Obr. 7.41 Křivky získané při polarografii AC polyethyleneglykolů o různé relativní molekulové hmotnosti (čísla u křivek)



Obr. 7.43 Schematické znázornění časového průběhu polarizačního napětí v normální pulsní polarografii (NPP) (A) a v diferenční pulsní polarografii (DPP) (B)
 t_k — doba kapky RKE, t_p — doba (šířka) pulsu, t_m — interval, během kterého se měří proud, t_1 a t_2 — intervaly měření proudu před začátkem pulsu a na konci pulsu



Obr. 7.45 DPP-polarogram
5.10⁻⁷M-Tl⁺ a 5.10⁻⁷M-Pb²⁺
v 0,1M-NaOH

$$I_d = 0,620 \text{ cm}^2 \text{ g}^{-2/3} \cdot n \cdot F \cdot \Pi \cdot r^2 \cdot D^{2/3} \cdot v^{-1/6} \cdot \omega^{1/2} \cdot c$$